

3. Folgerung: $\vec{k} \cdot \vec{r} - \vec{k}' \cdot \vec{r}$ analoge Reduktion, ohne Beweis

$$\varphi' = 0, k \sin(i) = k' \sin(r) \rightarrow \frac{\sin(i)}{\sin(r)} = \frac{c_u}{c_{u'}} = \frac{u'}{u}$$

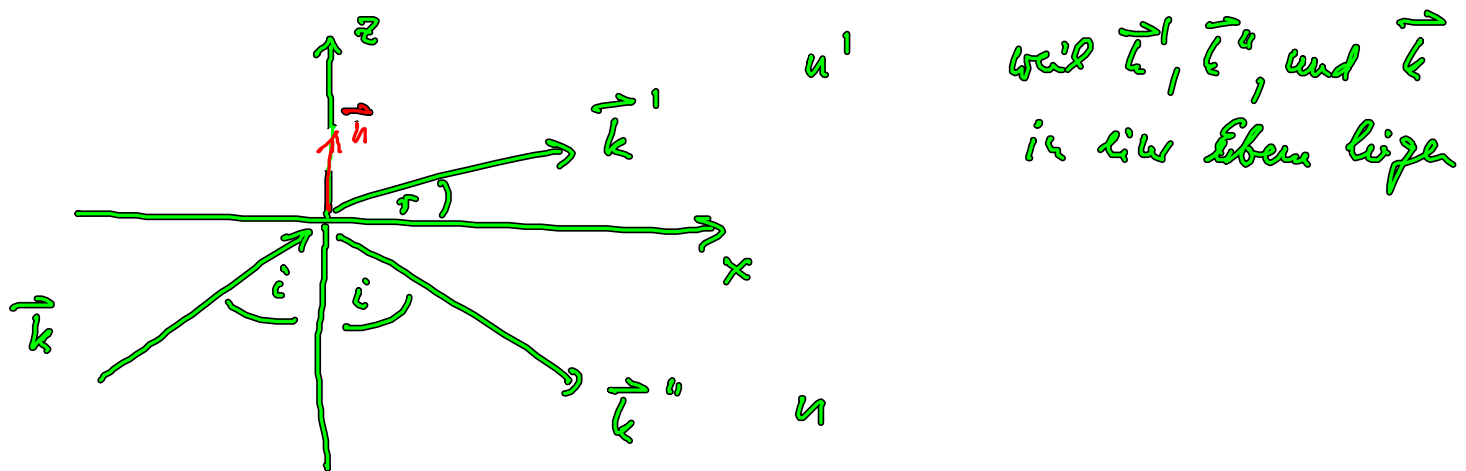
(i) Sinus von Einfallswinkel und Brechungswinkel verhalten sich umgekehrt wie die Brezahlen der Medien

(ii) φ' als Potenzwinkel des \vec{k}' Vektors gewählt \rightarrow \vec{k}, \vec{k}' liege in einer Ebene

$\rightarrow \vec{k}, \vec{k}', \vec{k}''$ liegen in einer Ebene

= schiebliche Verzerrung

4.2. Ableitung der Fresnelroten Formeln



eingehend

gebrochen

reflektiert

$$E = E_0 e^{i(\vec{k} \cdot \vec{r} - \omega t)}$$

$$E' = E'_0 e^{i(\vec{k}' \cdot \vec{r} - \omega' t)}$$

$$E'' = E''_0 e^{i(\vec{k}'' \cdot \vec{r} - \omega'' t)}$$

(Phasen müssen gleich sein an GF ($z=0$)
 bei Grenzbedingung & Punkt in der Ebene zu alle
 Zeit gelten müssen, kann man das folgern später
 f. die stehende Felder zu erhalten, wenn Ord, Zeit
 heraus fallen (Folgerung A-37), auswerten
 über bestimmt.)

$$\text{aus Maxw. Gl. } \vec{\nabla} \times \vec{E} = -\partial_t \vec{B}$$

$$i\vec{k} \times \vec{E} = i\omega \vec{B} \quad (\omega = c_n a, k \text{ in Richtung } u^n)$$

$$\vec{B} = \frac{\vec{k}}{c_n a} \times \vec{E}$$

Mit $c_n^2 k^2 = \omega^2$

$$c_{n'}^2 k'^2 = \omega'^2$$

$$c_n^2 k''^2 = \omega''^2$$

$$\vec{B} = \frac{1}{c_n} \frac{\vec{k}}{k} \times \vec{E}$$

$$\vec{B}' = \frac{1}{c_{n'}} \frac{\vec{k}'}{k'} \times \vec{E}'$$

$$\vec{B}'' = \frac{1}{c_n} \frac{\vec{k}''}{k''} \times \vec{E}''$$

- um interessante Verhältnisse von $\frac{E'_0}{E_0}, \frac{E''_0}{E_0}$

wieviel wird gebrochen bzw. reflektiert?

- man kann sich E -Feld in \vec{k} -Richtg. in 2 \perp Verh. zerlegen: Voll ds beide Richtage?

(i) definiert als Einfallsebene, wird zwisch \vec{k} und \vec{n} aufgezählt

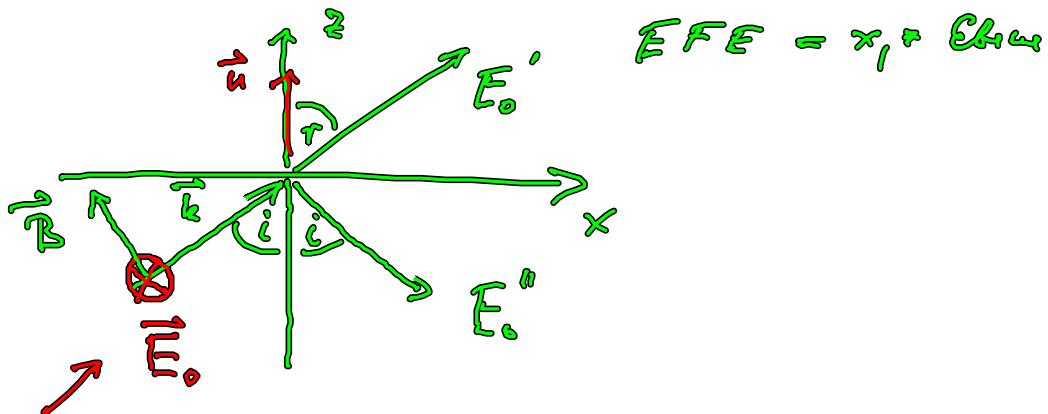
(ii) Polarisierung des E -Felds \perp EFE
(s polarisiert)

(iii) Polarisierung des E -Felds \parallel zur EFE

(p polarisiert)

→ Allgemein fällt durch Superposition von $(ii)/iii)$

s polarisiert



schreibt polarisiert zw. Erfolgsstreu

\vec{B} kann dann bestimmt werden, weil \perp, \vec{k}, \vec{E}

Tangentialkomponente Schlußl d. \vec{E} -Felds:

$$(\vec{E}_0 + \vec{E}_0'') \times \vec{u} = \vec{E}_0' \times \vec{u}$$

$\vec{E}_0 \parallel \vec{u}$ schreibt alle \perp aufeinander, und Koproduct

$$\boxed{\vec{E}_0 + \vec{E}_0'' = \vec{E}_0'} *$$

Tangentialkomponente Schlußl d. \vec{H} -Feld: $B = \mu_0 \mu_0 H$

$$(\vec{H}_0 + \vec{H}_0'') \times \vec{u} = \vec{H}_0' \times \vec{u} \quad (H \sim B \sim E)$$

$$\frac{1}{\mu} (\vec{k} \times \vec{E}_0 + \vec{k}'' \times \vec{E}_0'') \times \vec{u} = \frac{1}{\mu'} (\vec{k}' \times \vec{E}_0') \times \vec{u}$$

(siehe oben)

$$\text{mit } \vec{u} \times (\vec{k} \times \vec{E}_0) = \underbrace{(\vec{u} \cdot \vec{E}_0) \vec{k}} - (\vec{u} \cdot \vec{k}) \vec{E}_0 \\ = 0, \text{ s-polarisiert } \perp EFE$$

$$\frac{1}{\mu} (\vec{u} \cdot \vec{k}) \vec{E}_0 + \frac{1}{\mu} (\vec{u} \cdot \vec{k}'') \vec{E}_0'' = \frac{1}{\mu'} (\vec{u} \cdot \vec{k}') \vec{E}_0' \\ * *$$

$$\frac{k}{\mu} \cos(i) E_0 + \frac{k''}{\mu} E_0'' \cos(\pi-i) = \frac{k'}{\mu'} E_0' \cos(r)$$

r und über Brechungsgesetz berechnen:

$$\frac{\sin r}{\sin i} = \frac{u}{u'}$$

$$*\ *\ * \\ \cos(r) = \sqrt{1 - \left(\frac{u}{u'}, \sin(i) \right)^2}$$

* , ** , *** → sind 3 Gleichungen

für 3 Unbekannte: E_0', E_0'', r

bedeutet: $i_1 E_0$

Amplitudenverhältnis bei Brechung:

$$\frac{E_0'}{E_0} = \frac{2u \cos(i)}{u \cos(i) + \sqrt{\mu' \sqrt{u'^2 - u^2 \sin^2(i)}}$$

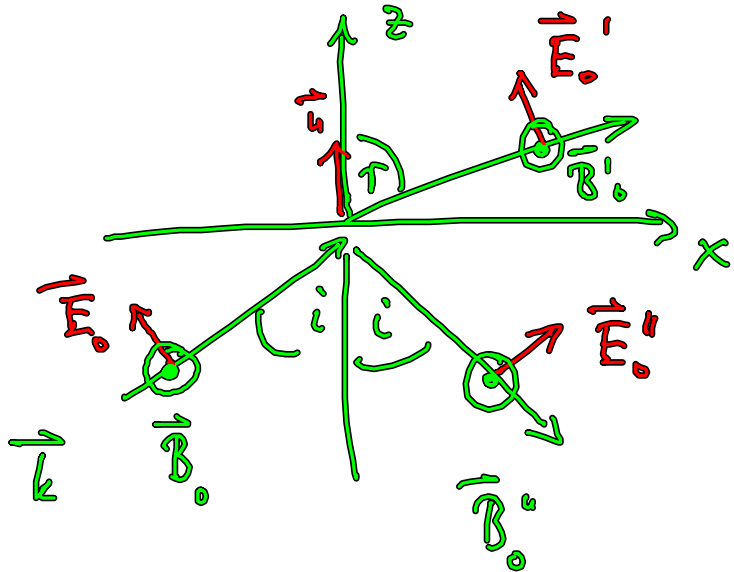
$$\frac{E_0'}{E_0} = \frac{u \cos(i) - \sqrt{\mu' \sqrt{u'^2 - u^2 \sin^2(i)}}}{u \cos(i) + \sqrt{\mu' \sqrt{u'^2 - u^2 \sin^2(i)}}}$$

Damit ist man in der Lage, die reflektierte und die gebrochene Amplitude $E_0'(n)$

als Fkt. der E_0 falls wirks und der Makroablenken zu berechnen.

p-Polarisation

Berechnung erfolgt analog



$$\frac{E_0'}{E_0} = \frac{2u u' \cos(i)}{u'^2 \frac{\mu}{\mu'} \cos(i) + u \sqrt{u'^2 - u^2 \sin^2(i)}}$$

$$\frac{E_0''}{E_0} = \frac{u'^2 \frac{\mu}{\mu'} \cos(i) - u \sqrt{u'^2 - u^2 \sin^2(i)}}{\frac{\mu}{\mu'} u'^2 \cos(i) + u \sqrt{u'^2 - u^2 \sin^2(i)}}$$

\Rightarrow man kann s_{pp} gebremst werden und an

Ende jedes beliebige Feld E' , E'' durch
Überlagerung von allen \vec{k}' 's und allen s_{pp}
Antiknoten berechnen.

Bewegungen

a) Diese Formel $\frac{E_0^{(n)}}{E_0} = \dots$ heit Fresnel'sche

Formel.

b) Brillenfall: $\vec{k} \perp$ auf der Oberfläche

Diagram illustrating reflection at a boundary between two media with refractive indices n and n' . The normal vector \vec{n} is perpendicular to the boundary. The incident wave \vec{k} has an angle $i = 0$ relative to the normal. The reflected wave \vec{k}' has the same angle $i = 0$. The refracted wave \vec{k}'' has an angle $\mu = \mu'$ relative to the normal. The refracted wave \vec{k}''' has an angle n/n' relative to the normal. The condition $n \neq n'$ is noted.

$$\frac{E_0'}{E_0} = \frac{2n}{n'+n}, \quad \frac{E_0''}{E_0} = \frac{n-n'}{n'+n}$$

wenn $n' > n$, so erhält " E_0'' " (reflektiertes Licht)

eine Phasesprung, weil Vorzeichen wechselt ($-1 = e^{i\pi}$)

c) umgekehrt können die Formeln angepasst werden um n' zu bestimmen aus Messung von eingeschlossenen u. reflektierten Feld

d) Brechsteinkiel

p-polarisiertes Licht: Einfallswinkel für den es keine reflektive Welle gibt; d.h. feste Polarisatoren kommt, immer s-polarisiert zurück
→ unter um fest polarisierte Strahlung herzustellen

p-Polarisatio Fresnel Formel: $\frac{E_0''}{E_0} = 0$ setzen

Und die Gleichung nach $i = i_B$ (B-Brewster)

umstellen

$$u'^2 \cos(i_B) = u \sqrt{u'^2 - u^2 \sin^2(i_B)}$$

um i_B umgestellt werden

(quadrat, $\alpha = \frac{u'}{u}$ ein führen, α Gleichg. lösen)

$$\alpha^4 (1 - \sin^2(i_B)) = \alpha^2 - \sin^2(i_B)$$

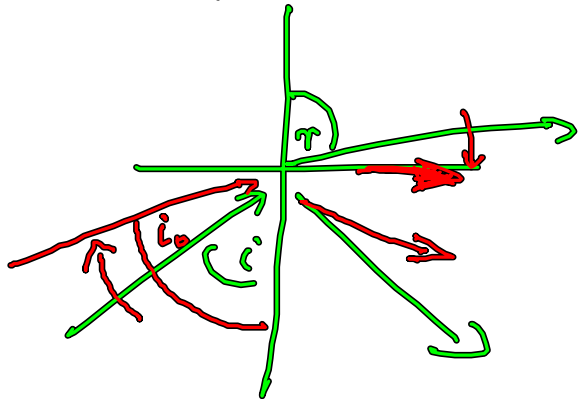
+ gefunden: $\arcsin\left(\frac{x}{\sqrt{1+x^2}}\right) = \arg(x)$

$$\rightarrow i_B = \operatorname{arctg}(\alpha) = \arg\left(\frac{u'}{u}\right)$$

optische Frequenz Glas/Kunst - Übergang $\rightarrow i_0 = 56^\circ$

c) Total reflexion (optisch dicht \rightarrow dünn)

Brechung $n > n'$, $r > i$ (Brechungswinkel)



$r = \frac{\pi}{2} \Leftrightarrow$ Totalreflexion, wie bestimmt war i_0 als Grenzwinkel der Totalreflexion

$$\frac{\sin r}{\sin i} = \frac{n}{n'} \rightarrow \frac{\sin \frac{\pi}{2}}{\sin i_0} = \frac{n}{n'}$$

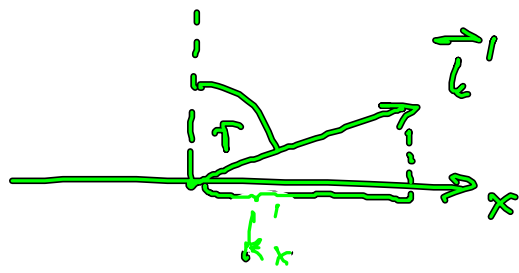
$$\sin(i_0) = \frac{n'}{n} \quad (\text{Luft/Glas} \rightarrow i_0 = 42^\circ)$$

Achtg.! Also da $n(\omega)$, $n(\omega) =$,
also frequenzabhängig!

bei Totalreflexion läuft an der Grenze ein

"evanszent" Welle entlang

gebrochener Strahl: $e^{i\vec{k} \cdot \vec{r}'} = e^{ik'_x x + k'_z z}$



$$k'_x x = k' \cos\left(\frac{\pi}{2} - r\right) x = k' \sin(r) x$$
$$k'_z z = k' \cos(r) z$$

$$e^{i\vec{k} \cdot \vec{r}} = e^{ik' x} \frac{\sin(i)}{\sin(i_0)}$$

Sieh ob

$$e^{ik' z} \sqrt{1 - \frac{\sin^2(i)}{\sin^2(i_0)}}$$

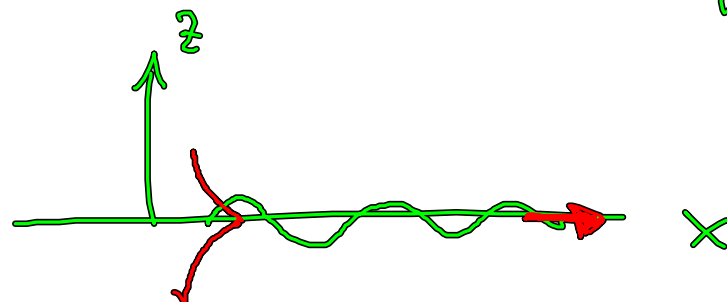
$$\left(\frac{\sin(i)}{\sin(i_0)} \right)^2 \geq 1$$

obehalb oder gleich

≠ der Total reflektiorer Fall

$$e^{i\vec{k} \cdot \vec{r}} = e^{ik' x} \frac{\sin(i)}{\sin(i_0)} e^{-k' z} \underbrace{\sqrt{\frac{\sin^2(i)}{\sin^2(i_0)} - 1}}_{\text{null}}$$

Die gebrochenen Welle läuft den nach entlang der x-Achse, ist aber in z-Richtung exponentiell gedämpft:



Die Welle ist in ein dünn Schicht um die Grenzfläche lokalisiert und breite sich entlang der Grenzfläche aus.

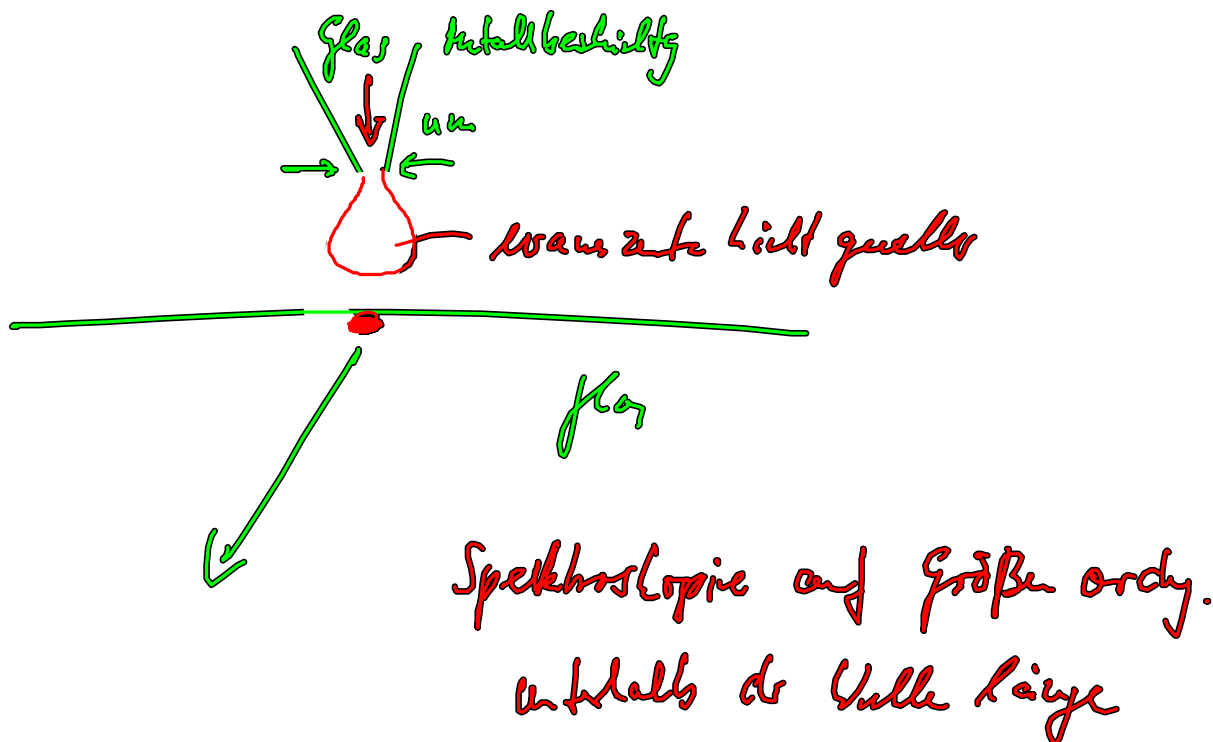
Exponentielle Abhängigkeit bei Wellen wird als Waveszahl bezeichnet.

Die gesamte Intensität wird reflektiert:

$$\frac{E'}{E_0} = \left| i - i_0 \right| = 1$$

Brewster: Abhängig findet typischerweise auf Liegesteck $\ell \approx \lambda$ statt,

Optik in diesen Bereich heißt „Vakuumoptik“



5. Metallische und dichtl. für gew. ω , abhängige Reflexion

$$\perp \text{ Einfall} \quad n' = 1 \quad \begin{matrix} \rightarrow \\ \leftarrow \end{matrix} \quad \begin{matrix} \text{Metall} \\ \text{Dichtl.} \end{matrix} \quad n$$

$$R = \left| \text{Reflexions-} \right|^2 = \left| \frac{1 - q}{1 + q} \right|^2 = \left| \frac{E_0''}{E} \right|^2$$

$$R = R(\omega) \quad T_{\text{ausse}}$$

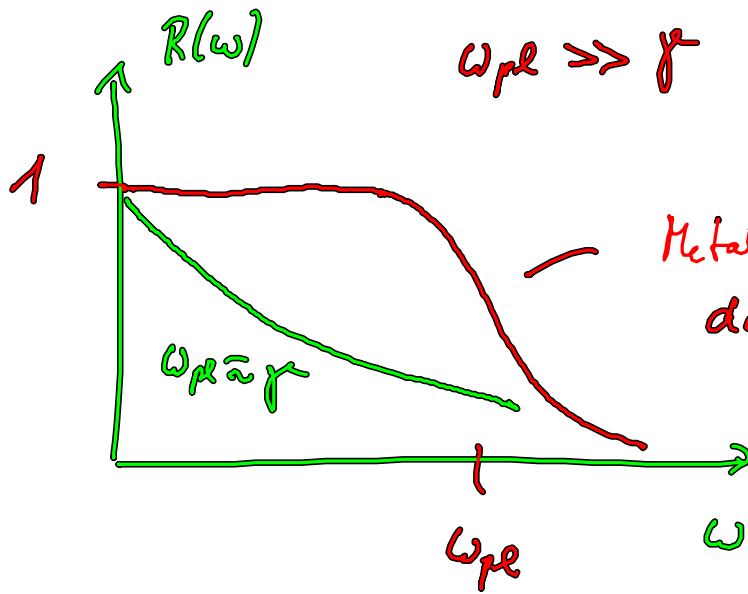
Modell f. $n(\omega)$ aus Lehr VL:

$$n(\omega) = \left(1 + \frac{\omega_{pl}^2}{\omega_0^2 - \omega^2 - i\omega\gamma} \right)^{1/2}$$

↗ **Rückstellkraft** ↑ **Dämpf.**
 ↘ $\rightarrow \infty$, Reflexion $\rightarrow 0$, Dicke Null

Metall:

Plot in HA

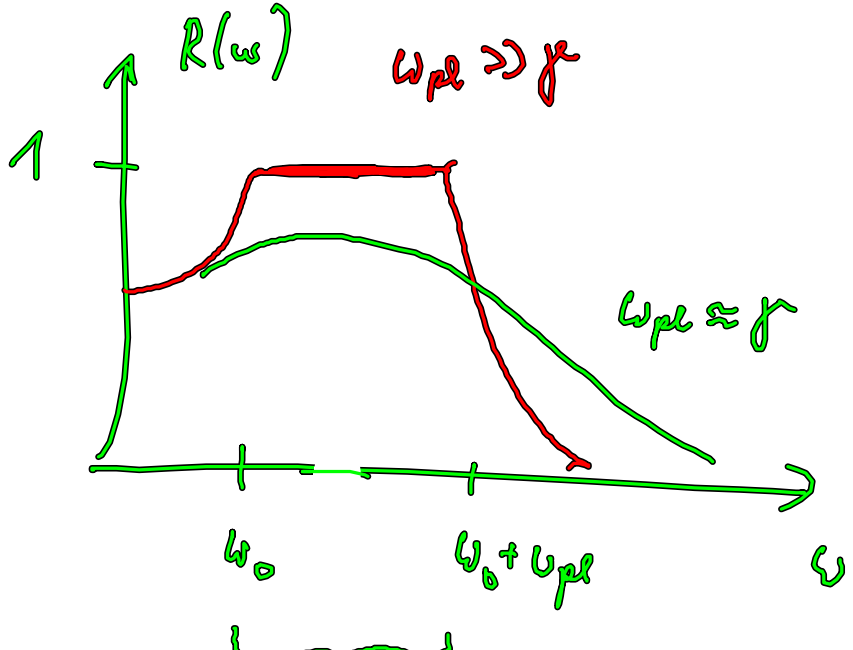


Metall transparent für $\omega > \omega_0$
 darunter sorgen Plasmonen dafür
 dass sich Licht nicht aus-
 breite kann, sondern
 reflektiert wird.

Spectral Filter ! (Kante)

Dicke Null





Es existiert ein Bereich
 in dem kein Ausbreitung.
 Mgl. ist, weil alles
 reflektiert wird
 (Reststrahlbande")